



UNIVERSIDAD NACIONAL AUTONOMA DE MEXICO

ESCUELA NACIONAL DE ESTUDIOS PROFESIONALES
"IZTACALA"

**"EVOLUCION MOLECULAR DE ENZIMAS DEPENDIENTES
DE PIRIDOXAL FOSFATO QUE INTERVIENEN EN
VIAS DE BIOSINTESIS DE AMINOACIDOS"**

T E S I S
QUE PARA OBTENER EL TITULO DE:
B I O L O G O
P R E S E N T A :
EDUARDO DIAZ VILLAGOMEZ

MEXICO, D. F.

1992

TESIS CON
FALLA DE ORIGEN



UNAM – Dirección General de Bibliotecas

Tesis Digitales
Restricciones de uso

DERECHOS RESERVADOS ©
PROHIBIDA SU REPRODUCCIÓN TOTAL O PARCIAL

Todo el material contenido en esta tesis está protegido por la Ley Federal del Derecho de Autor (LFDA) de los Estados Unidos Mexicanos (México).

El uso de imágenes, fragmentos de videos, y demás material que sea objeto de protección de los derechos de autor, será exclusivamente para fines educativos e informativos y deberá citar la fuente donde la obtuvo mencionando el autor o autores. Cualquier uso distinto como el lucro, reproducción, edición o modificación, será perseguido y sancionado por el respectivo titular de los Derechos de Autor.

Agradezco :

Al Biol. Antonio Lazcano-Araujo Reyes por la oportunidad y apoyo que me brindó durante la realización de mi trabajo de tesis bajo su dirección, en el Laboratorio de Microbiología de la Facultad de Ciencias, UNAM.

A los Profesores de la E.N.E.P. Iztacala M. en C. Ramón Moreno, Biol. Irma Dueñas, Biol. Elias Piedra y Biol. Rafael Quintanar por formar parte del jurado calificador.

A la Directora de la E.N.E.P. Iztacala M. en C. Arlette López Trujillo por su ayuda en la agilización de los trámites, lo que facilitó mi partida para iniciar un nuevo ciclo en mi vida.

A la M. en C. Martha Salcedo por ser una parte clave para llegar al camino final; el exámen profesional.

Al Dr. Germinal Cocho, al Dr. Pedro Miramontes y al proyecto UNAM-IN 105289 por la beca otorgada.

Al Dr. Joan Oró de la Universidad de Houston EEUU, por las ideas para la realización de este trabajo.

A Thomas Mills de la Universidad de Houston EEUU, por su cooperación en este trabajo con la secuencia de la cadena B de la triptofano sintasa de Zea mays.

A Renato Cappello, por su cooperación con los programas de computadora utilizados en este trabajo.

A Ana Velasco, por su asesoramiento en el uso de programas de computadora y por su buena vibra que poca gente tiene.

A Pilar por su apoyo incondicional y por ser lo más importante en mi vida el amor y la amistad.

A mis padres y hermanos por todo su apoyo y cariño que me brindaron para poder llegar a la meta.

A la E.N.E.P. Iztacala UNAM, por la oportunidad de estudiar Biología y darme los mejores amigos.

A mi México mágico por todo lo que llevo dentro de mi ser.

CONTENIDO

RESUMEN.....	1
INTRODUCCION.....	2
METODOLOGIA.....	14
RESULTADOS.....	17
DISCUSION.....	33
 ALINEACION DE SECUENCIAS.....	33
 ARBOL FILOGENETICO DE LAS CADENA S DE LA TRIPTOFANO SINTASA.....	36
CONCLUSIONES.....	40
REFERENCIAS.....	43

RESUMEN

En este trabajo se compararon, primero por separado las secuencias disponibles de la cadena β de la triptofano sintasa, treonina sintasa, treonina deshidratasa y serina deshidratasa, y luego entre ellas. Se pudo comprobar así su origen monofilético, lo que implica que estas cuatro enzimas dependientes de fosfato de piridoxal, e involucradas en la biosíntesis de aminoácidos, provienen de un sólo gen ancestral del cual se originaron a través de varias duplicaciones génicas. Este resultado apoya la hipótesis de una enzima ancestral con poca especificidad por su sustrato.

Se construyó un árbol filogenético con secuencias de la cadena β de la triptofano sintasa, al cual se le puso raíz utilizando como grupo externo la treonina sintasa de Bacillus subtilis. Este árbol discrepa de los árboles universales usando las secuencias de genes parálogos de las FoF₁-ATPasas y de los factores de elongación. Estas diferencias probablemente se deben a varios eventos de transferencia horizontal de genes, lo cual implica que estas moléculas no sean las adecuadas para inferir filogenias de organismos. Estas enzimas dependientes de fosfato de piridoxal presentan un reloj molecular lento, lo que dificultad su utilización como marcadores filogenéticos.

Faltan páginas

Nº 2-13

METODOLOGIA

Las secuencias disponibles de la cadena S de la triptofano sintasa, de la treonina sintasa, la treonina deshidratasa y la D-serina deshidratasa de los tres linajes celulares existentes se obtuvieron a partir de búsquedas en los bancos de genes de la Facultad de Ciencias, (UNAM) y del Instituto de Biotecnología UNAM en Cuernavaca, Morelos. Algunas secuencias adicionales se consiguieron bibliograficamente. La secuencia de Zea mays fue proporcionada por Thomas Mills de la Universidad de Houston, EEUU (comunicación personal). Las secuencias fueron obtenidas del Gene Bank en DNA y aminoácidos. Las secuencias de DNA fueron traducidas a aminoácidos con ayuda de programas de computadora. Las secuencias fueron comparadas por computadora en las terminales del Laboratorio de Microbiología de la Facultad de Ciencias. Para ello, se utilizaron programas comerciales con algoritmos que permiten realizar los alineamientos de las secuencias, principalmente el Fastp de Lipman y Pearson (Lipman, 1985) y el Clustal (Higgins and Sharp, 1988, 1989). Las secuencias se compararon una por una contra el resto, y también se realizaron alineamientos múltiples para estudiar el grado de similitud con cada una de ellas. A partir de estos resultados, se decidió si existe o no homología entre las proteínas estudiadas, usando los criterios de Doolittle (1989), y se construyó un árbol filogenético en base a los porcentajes de similitud de las cadenas S de la triptofano sintasa, con ayuda de programas de computadora. De esta manera se espera comprender, como evolucionó este grupo de enzimas biosintéticas dependientes de fosfato de pirodoxal .

Tabla 3. Secuencias de la cadena B de la triptofano sintasa

	Organismo	Linaje celular	Referencia
	<u>Escherichia coli</u>	(Eubac.)	Burns y Yanofsky, 1989
G	<u>Salmonella typhimurium</u>	(Eubac.)	Hyde et al. 1988
R	<u>Pseudomonas putida</u>	(Eubac.)	Eberly y Crawford, 1989
A	<u>Pseudomonas aeruginosa</u>	(Eubac.)	Haderoy Crawford, 1986
M	<u>Caulobacter crescentus</u>	(Eubac.)	Ross y Winkler, 1988
+	<u>Brevibacterium lactofermentum</u>	(Eubac.)	Matsui et al. 1986
-	<u>Bacillus subtilis</u>	(Eubac.)	Parsot, 1987
M	<u>Bacillus stearothermophilus</u>	(Eubac)	Ishiwata. 1989
-	<u>Lactobacillus casei</u>	(Eubac.)	Natori et al. 1990
	<u>Thersus thermophilus</u>	(Eubac.)	Koyama y Furukawa. 1989
	<u>Methanococcus voltae</u>	(Arque.)	Sibol y Henriet, 1988
	<u>Methanobacterium thermoautotrophicum</u>	(Arque.)	Meile et al. 1991
	<u>Haloferax volcanii</u>	(Arque.)	Lam et al. 1990
	<u>Saccharomyces cerevisiae</u>	(Euca.)	Zalkin y Yanofsky, 1982
	<u>Neurospora crassa</u>	(Euca.)	Pratt y DeMoss, 1988
	<u>Cropinus cinereus</u>	(Euca.)	Skrzynia et al. 1989
	<u>Arabidopsis thaliana</u>	(Euca.)	Berlyn, 1989
	<u>Zea mays</u>	(Euca.)	Mills T.. com. per.

Tabla 4. Secuencias de la treonina sintasa

Organismo	Linaje celular	Referencia
<u>Escherichia coli</u>	(Eubac.)	Parsot <i>et al.</i> 1983
<u>Brevibacterium lactofermentum</u>	(Eubac.)	Malumbres <i>et al.</i> 1988
<u>Bacillus subtilis</u>	(Eubac.)	Parsot, 1986
<u>Saccharomyces cerevisiae</u>	(Euca.)	Aas y Rognes, 1990

Tabla 5. Secuencias de la treonina deshidratasa

Organismo	Linaje celular	Referencia
<u>Ratus sp.</u>	(Euca.)	Noda <i>et al.</i> 1988
<u>Saccharomyces cerevisiae</u>	(Euca.)	Kielland-Brand <i>et al.</i> 1984
<u>Salmonella typhimurium</u>	(Eubac.)	Taillon <i>et al.</i> 1988
<u>Escherichia coli</u>	(Eubac.)	Datta <i>et al.</i> 1987

Tabla 6. Secuencias de la serina deshidratasa

Organismo	Linaje celular	Referencia
<u>Ratus sp.</u>	(Euca.)	Ogawa <i>et al.</i> 1988
<u>Homo sapiens</u>	(Euca.)	Ogawa <i>et al.</i> 1989
<u>Saccharomyces cerevisiae</u>	(Euca.)	Seufert, 1990
<u>Escherichia coli</u>	(Eubac.)	Schiltz y Schmittew. 1981

Secuencias de aminoacidos de la triptofano sintasa cadena A (Tabla 3), treonina sintasa (Tabla 4), treonina deshidrasatasa (Tabla 5) y serina deshidratasa (Tabla 6) disponibles en el banco de genes de Eubacterias (Eubac.), de arqueobacterias (Arque.) y eucariontes (Euca.)

RESULTADOS

En primer lugar se alinearon por separado las secuencias disponibles de cada una de las cuatro enzimas, i.e., cadena β de la triptofano sintasa, treonina sintasa, treonina deshidratasa y serina deshidratasa (Fig. 2-5, Matrices 1-4).

TRIPTOFANO SINTASA β

50

TRPBmZ	M-----
TRPBAt	MAASGTSATFRASVSSAPSSSQLTHLKSPFKAVKYTPLPSSRSKSSSFS
TRPBNC	-----
TRPBSc	-----
TRPBCC	-----
TRPBmH	M-----DGKFGK-----
TRPBmV	MKCNTK-----
TRPBhv	MSA-----
TRPBTh	MLT-----LPD-----FP
TRPBBS	MY-----
TRPBa	ME-----
TRPBLC	M-----KTLNETTQQSTRA-----
TRPBBr	MTEKENLGG-----STLLPAY-----
TRPBPa	MT----S--YRNG-----
TRPBPP	MT----QSQYRPG-----
TRPBCr	MNAPAKNDYSAY-----
TRPBEC	-----TTLLNPY-----
TRPBSt	-----TTLLNPY-----

100

TRPBmZ	-----QRPDAMGRFG-RFGGKYVTETLMHALTE
TRPBAt	VSCTIAKDPVLMAGSDPALWQRPDSEGRFG-KFGGKYVPETLMHALSE
TRPBNC	-----LHGТИK-----RFG-EFGGQYVPEALMDCLSE
TRPBSC	-----ENHKHPI-----RFG-DFGGQYVPEALHACLRE
TRPBCC	-----GVENILPA-----RFG-QFGGQYVPESLVDALAE
TRPBmV	-----C-----DKNGYFG-EFGGQYIPEVKPAVEE
TRPBmH	-----DGKFG-KYGGIFVPELIPALEE
TRPBhv	-----DGKFG-DYGGQYVPEALMPAIEE
TRPBTh	L-----PDAGRFG-PYGGRYVPETLIPALEE
TRPBBS	-----PYPNEIGRYG-DFFGGKFVPETLMQPLDE
TRPBa	-----RVPNEHGRFG-DFFGGKFVPETLMLPLEE
TRPBLC	-----GRYGDFFGGQYIPETLMTELEK
TRPBBr	-----FG-EFGGQFVAESLLPALDQ
TRPBPa	-----PDAKGLFG-GFGGQYVAETLMLPLILD
TRPBPP	-----PDANGLFG-SFGGGRYVAETLMLPLVLD
TRPBCr	-----PDAEGRFG-GFGGGRYVAETLMLPLVLD
TRPBEC	-----FG-EFGGMYVPQILMPALRQ
TRPBSt	-----FG-EFGGMYVPQILMPALNQ

150

TRPBmz LESAFHALATDEFQKELDGILKDYVGRESPLYFAERLTHEHYKRADGEG-
 TRPBAt LESAFYALATDDDFQRELAGILKDYVGRESPLYFAERLTHEHYRRENGE GP
 TRPBNC LEEGFNLIKDDPAFWEEYRSYYP-WMGRPQLHKAERLTEY----AGGA
 TRPBSC LEKGFDDEAVADPTFWEDFKSLYS-YIGRPSSLHKAERLTEH----CQGA
 TRPBCC LEEAHKSAIEDPAFWEEYRSLYT-YSNRPSNLYLAENLTKE----AGGA
 TRPBMV LKEAYKELKDDDFQNELAYYLKHAGRETPLYYAKNLTEKL----GGA
 TRPBm h LEAAFLHYSKDRRFNEDLEHYLREYAGRPTGLYHARNLSEKL----GC-
 TRPBhv LTAYERVLDNEDGFMDDFRARLRDFGGRPTPLQRADRLSE--RYDREV-
 TRPBTh LEAAYREAKKDPFLEELDHYLQFAGRPTPLYHAKRLSE-YW----GGA
 TRPBBS IQTAKQIKDDPAFREEYYKLLKDYSRPTALTYADRVTTEYL----GGA
 TRPBBA IEAELDKALADESFQKEYIRILQHYSRPTPLTFAPNLTRQL----GGA
 TRPBLC VTKAFNDLKDNPEFKAEIWNDLVNYANRPSLLYYAKNMTEDL----GGA
 TRPBBr LEKAFVUDATNSPEFREELGGYLRDYLGRPTPLTECSNPLA--GEGKGFA
 TRPBPa LAREYEKAKDDPAFQEELAYFQRDYVGRPSPLYFAERLTEHC----GGA
 TRPBPP TRPBCr LGKAYADAKADPFEQAQLKSNTHYAGRPSPLYFAERLTEHF----GGA
 TRPBEC LEEAFVSAQKDPEFQAQFNDLLKNYAGRPTALTCKQNITAG--TN TT--
 TRPBSt LEEAFVRAQKDPEFQAQFADLLKNYAGRPTALTCKQNITAG--TRTT--

200

TRPBmz LIYLKREDLNHTGAHKINMAVAQALLAKRLGKQRIIAETGAGQHGVATAT
 TRPBAt LIYLKREDLNHTGAHKINNAVAQALLAKRLGK KRIIAETGAGQHGVATAT
 TRPBNC NIWLKREDLNHTGSHKINNALGQLLLARRLGKKKIIAETGAGQHGVATAT
 TRPBSC QIWLKREDLNHTGSHKINNALAQVLLAKRLGKKNVIAETGAGQHGVATAT
 TRPBCC NIWLKREDLNHTGSHKINNALGQILLAKRKGKTRIIAETGAGQHGVATAT
 TRPBm h RVYLKREDMLNHTGAHKINNTIGQALLAGYMGKRRLIAETGAGQHGIATAA
 TRPBv KIYLKREDLLHGGAHKTNNTIGQALLAKKGKTRIIAETGAGQHGVGTSM
 TRPBhv --YLKREDLLHGGAHKLNNAQGVLLAKYMGKERIIIAETGAGQHGTATAM
 TRPBTh QVFLKREDLLHHTGAHKINNTLGQALLARRMGKRRVIAETGAGQHGVSVAT
 TRPBBS KIYLKREDLNHTGSHKINNALGQALLAKKGKTRKIIIAETGAGQHGVAPAT
 TRPBBa KMYLKREDLNHTGAHKINNAIGQALLAKRMGK KKLIAETGAGQHGVAAAT
 TRPBPa KIYLKREELNHTGAHKINNCIGQILLARRMGKTRIIIAETGAGMHGLATAT
 TRPBLC KIYLKREDLNHTGAHKINNVIGQALLAKHLGK KRLIAETGAGQHGVATAT
 TRPBBr RIFLKREDLVHGGAHKTNQVIGQVLLAKRMGKTRIIAETGAGQHGTATAL
 TRPBPP KIFFKREELNHTGAHKVN NCIGQVLLAKRMGK KRLIAETGAGMHGVATAT
 TRPBCr KIYFKRDELNHTGSHKINNALGQILLARRMGKTRIIIAETGAGQHGVATAT
 TRPBEC -LYLKREDLLHGGAHKTNQVLGQALLAKRMGKTEIIIAETGAGQHGVASAL
 TRPBSt -LYLKREDLLHGGAHKTNQVLGQALLAKRMGKSEIIIAETGAGQHGVASAL

250

TRPBmZ VCRRFGLQCIYMGQAQDMERQALNVFRMRLLGAE--VRAVHSGTATLKDA
 TRPBAt VCARFGLCIIYMGQAQDMERQALNVFRMRLLGAE--VRGVHSGTATLKDA
 TRPBNC VCAKFGMECTVFMGAEDVRRQALNVFRMKL LGAK--VVAVEAGSRTL RDA
 TRPBSc ACAKFGLTCTVFMGAEDVRRQALNVFRMRILGAK--VIAVTNGTKTLRDA
 TRPBCC VCAKFGLECVIYMGAEVRRQALKLFRIEMLGGKAWVIPVHSGSCTLKDA
 TRPBmH AGALFGMDVDVYMGTEDVERQKLNVFRMEISGA--RVIPVDSGSRTL KDA
 TRPBmV AGALFGLETEIFMGRVDTERQQPNVARMKLLGAK--VTPVDTGSKV LKDA
 TRPBhv ACAHLDMPCEIYMGGERDINRQPVNFRMKLNGSE--VNPVTVGRGTLKEA
 TRPBTh VAALFGLECIVYMGAEVDRQALNVFRMKL LGAE--VRPVAAGSRTL KDA
 TRPBBS VAAKFGFSCTVFMGEEDVARQSLNVFRMKL LGAE--VVPPVTSGNGL KDA
 TRPBba VAAHFGMDCIVFMGEEDIKRQELNVFRMKL LGAE--VVPPVSSGNR TLKDA
 TRPBLC IAALMGMDCEIFMGKEDTDQKLNVYRMELLGAK--VHPVTSGSMVL KDA
 TRPBBr ACALMGLECVVYMGAKDVARQQPNVYRMQLHGAK--VIPVESGSGL KDA
 TRPBPa VAARFGLQCIVYMGTTIDRQQANVFRMKL LGAE--VIPVTAGTGTL KDA
 TRPBpp VAARFGLPCIVYMGATDIERQQANVFRMKL LGAE--IPVVTAGTGTL KDA
 TRPBcI VCARFGLPCIVYMGATDVERQKPNVFRMNL LGAE--VRPVSSGTGTL KDA
 TRPBcC ASALLGLKCRIYMGAKDVERQSPNVFRMRL MGAE--VIPVHSGSATL KDA
 TRPBst ASALLGLKCRIYMGAKDVERQSPNVFRMRL MGAE--VIPVHSGSATL KDA

300

TRPBmZ TSEAIRDWVDMVETTHYILGSVAGPHYPMMVREFKVIGKETRRQAMDK
 TRPBAt TSEAIRDWVTNVETTHYILGSVAGPHYPMMVRDFHAVIGKETRKQALEK
 TRPBNC VNEALRYWVWNLADTHYIIGSAIGPHPFPTIVRTFQS VIGNETKQQMLE-
 TRPBSc TSEAIRFWVTNLKTTYYVVGSAIGPHPYPTLVRDFQS VIGKETKEQFAAM
 TRPBCC VNEAMRDWISSVEDTHYLIGSTMGPHPYPTMVKH FQS VIGREAREQILEI
 TRPBmH INQAMRDWISSVEDTHYLIGSTMGPHPYPTMVKH FQS VIGREAREQILEI
 TRPBmV VNEAMRNWTATFENTHYLLGTVGMGPHPFPTMVRDFQS VIGKEVKQIMEQ
 ISETMRDWETNVEDTHYVIGSVVGPHPFPSMVRDFQS VISEEARTQAREK
 TRPBhv TNEAIRYWVQHCEDHFYMI GS VVGPHPYQV VREFQKMIGEEAKDQLKRI
 TRPBbs TNEAIRYWVAHCDHFYMI GS VVGPHPYPKMVREFQRIIGDEAKEQFLAC
 TRPBba VNATLQEWA SP SDDTFYVLGS AVGPAPFPEMVKH FQS VISTESKQQLQAK
 TRPBLC VNEALRDWTATFHESHYLLGTRAGPHPFPTIVREFHKVISEEAKAQM LER
 TRPBf MNEALRDWVTNV DFTFYLIGTVAGPHPYPA MVRDFQAVIGKETREQLA EK
 TRPBPs MNEALRDWVTNVHD TYLIGTAAGPHPYPA MVRDFQSIIGKETRAQLQEK
 TRPBpp MNEAMRDWVTNVHD TYLIGTAAGPHPYPA MVRDFQSVIGAEAREQILEM
 TRPBcI TNEAIRD WITNVRTTFYILGSVVGPHPYPTIVREFQRMIGEETKAQILER
 TRPBth CNEALRDWSGSYETAHYMLGTAAGPHPYPTIVREFQRMIGEETKAQILER
 TRPBec CNEALRDWSGSYETAHYMLGTAAGPHPYPTIVREFQRMIGEETKAQILDK
 TRPBst

350

TRPBmz	W-GGKPDVLVACVGGSNAMGLFHEF-----	VEDQDVRVLVGLEAAG
TRPBAt	W-GGKPDVLVACVGGSNAMGLFHEF-----	VNDTEVRMIGVEAAG
TRPBNC	KRGKLPDAVVACVGGSNAVGMFYPPFSND-----	PSVKLLGVEAGG
TRPBSC	NNGKLPDAVVACVGGSNSTGMFSPFEHD-----	TSVKLLGVEAGG
TRPBCC	-RGKLPDVVVACVGGSNAIGTFYDFIPD-----	KSVRLVGVEAGG
TRPBmH	E-GELPDTIIACVGGSNAIGIFSASFLLDDV-----	ELIGAEAGG
TRPBmV	E-ERLPDYLVACIGGGSNAMGLFHPFLSNNISTGNDDAKNVKMIGIEAAG	
TRPBhv	L-GRLPDAVVACAGGGSNTMGAFAEVDDEETALYAVEAGGSTLEVD-----	
TRPBTh	F-GRLPDALIAAVGGGSNAIGLFAPP-----	AYLPGRPKLIGVEAAG
TRPBBS	E-GTMDPKVVAACVGGSNAMGMFQAFLNEDV-----	ELIGAEAAAG
TRPBBA	E-GKLDPDVIVACVGGSNAIGMFYPPFLQDDV-----	RLVGVEAAG
TRPBLC	E-AQLPDMVVACVGGSNAIGSFAAYI-----	DDPSVQLVGVEAAG
TRPBBr	T-GKLPDVVVACVGGSNAIGMFADFIDDE-----	GVELVGAEPAAG
TRPBpa	E-GRLPDSLVAICVGGSNAMGLFHPF-----	LDAGVQIVGVEAAG
TRPBp	E-GRLPDSLVAVGGSNAMGLFHEF-----	LEEPSVQIIGVEAAG
TRPBcr	E-GRLPDAVVACIGGGSNNAIGLFHPF-----	LGDEGVRLIGVEAAG
TRPBEC	E-GRLPDAVIACVGGSNAIGMFADFINET-----	NVGLIGVEPAGG
TRPBst	E-GRLPDAVIACVGGSNAIGMFADFINDT-----	SVGLIGVEPAGG

400

TRPBmz	HGVDTDKHAATLTKGQVGVLHGMSYLLQDDDGQVIEPHSIAGLDYPGV	
TRPBAt	FGLDSGKHAATLTKGDVGVLHGAMSYLLQDDDGQIIEPHSIAGLDYPGV	
TRPBNC	DGVDTPRHSATLTAGSKGVHLGVRTYILQNQYQGIEDTHSIAGLDYPGV	
TRPBSC	DGVDTKFHSATLTAGRPGVFHGVKTVLQDSDGQVHDTHSVSAGLDYPGV	
TRPBCC	EGIDGHKHSATLSMGQPGVLHGVRTYILQDKAGQIIEETHSIAGLDYPGV	
TRPBmH	EGIESGNHGATLSAGSEGVHLGSLSYVLQDDDGQINEAHVSAGLDYPGV	
TRPBmV	KGLNTSLHGASITKGKEGVHLGMLSYFLQDEDGQIEEAYSISAGLDYPGI	
TRPBhv	EEAGVAPNSASLTGSEGILHGARTRLQDRDGQIMESHVSSSGLDYAGV	
TRPBTh	EGLSTGRHAASIGAGKRGVLHGSMYMLLYDHHDGQITPAHSVSAGLDYPGV	
TRPBBS	KGIDTPLHAATISKGTVGVIHGSPTYLIQDEFQIIEPYSISAGLDYPGI	
TRPBBA	KGIDTPYHAATITKGTKGVHGMATYLLQDEYQIVEPYSISAGLDYPGV	
TRPBLC	KGADTDRTAACIERGSVGIFHGMKSLFMQNEDGQIDPVYSISAGLDYPGV	
TRPBBr	EGLDSGKHGATITNGQIGILHGTRSYLMRNSDGQVEESYSISAGLDYPGV	
TRPBpa	HGIDTGKHAASLNGGVPGVLHGMRNTFLQDADGQIIDAHHSISAGLDYPGI	
TRPBp	HGVHTDKHAASLNGGVPGVLHGMRNTTYLLQDDDGQIIDAHHSISAGLDYPGI	
TRPBcr	HGVSTDKHAASLTGGRPGVLHGMRNTTYLLQDDDGQIIDAHHSISAGLDYPGI	
TRPBEC	HGIETGEHGAPLKHGRVGIYFGMKAPMMQTEDGQIEEYSISISAGLDFPSV	
TRPBst	HGIETGEHGAPLKHGRVGIYFGMKAPMMQTADGQIEEYSISISAGLDFPSV	

	450
TRPBm2	GPEHSFLKDIGRAEYDSVTDQEALDAFKRVSRLERIIPALETSHALAYLE
TRPBAt	GPEHSFFKDMGRAEYYSTITDEEALAFKRVSRLEGIIIPALETSHALAYLE
TRPBNC	GPELSNWKDTERAKFVAATDAQAFEGFRMLMSQLEGIIPALESSHGIWGL
TRPBSC	GPELAYWKSTGRAQFIAATDAQALLGFKLSQLLEGIIIPALESSHAYVGAC
TRPBCC	GPEHAWLKDGRADYVVCTDEDALRGFRMLTQKEGIIPALESSHAIWEGV
TRPBmH	GPEHAYLMETGRAMYEPIITDAEALRGFKLRSCEGIMPALESAHAIACLE
TRPBmV	GPEHAYLHNLRVQYASATDKQALKAFMELTRTEGIIPALESSHAIAYAI
TRPBhv	GPELAHLVDTRVTAVNVDDAALTAFHRLSQMEGIIPALESAHAFGYLE
TRPBTh	GPEHSYYADAGVAEYASVTDEEALEGFKLARLEGIIIPALESAHAIAYAA
TRPBBS	GPEHAYLHKSGRVTYDSITDEEAVDALKLSEKEGILPAIESAHALAKAF
TRPBBA	GPEHAYLASIGRVRVRYESVTDEEAVAFLRLAQTEGIIPAIESAHAVAKAV
TRPBPa	GPEHAWLHDIGRVEYTSITDDEALEAFHTCCRLEGIIPALESSHALAEVF
TRPBPP	GPEHAYLHEVKRVEYVTSITDDEALDAFHATCRLEGIIPALESSHALAEAI
TRPBcr	GPEHSFLHDIGRAEYVSTTDTEALEAFKLCSTLEGIIIPAЛЕPAHALARVG
TRPBLC	GPEHAALAQEGRAGQYVGITDDEAVEAFTYIAKQEGIVAAIESCHAIAYVE
TRPBBr	GHSTHTCTPPARTTLVSPTPKSKHS-SSLARYEGIIPRTGILTRVRLRL
TRPBEC	GPQHAYLNSTGRADYVSITDDEALEAFKTLCLHEGIIPALESSHALAHAL
TRPBst	GPQHAYLN SIGRADYVSITDDEALEAFKTLCRHEGIIPALESSHALAHAL
	500
TRPBm2	KLCPTLADGVR-----VVVNCGRGDKDVTASKYLDV-----
TRPBAt	KLCPTLSDGTR-----VVLNFSGRGDKDVQTVAKYLD-----
TRPBNC	ELAKTMK-PDED-----VVICLSSGRGDKDQVQSVADELPIIIGPKIGWD
TRPBSC	ELAKTMK-PDQH-----LVINISGRGDKDQVQSVAEVLPKLGPKIGWD
TRPBCC	KIAKSLP-KDKD-----IVICLSSGRGDKDVEQISELLPKWADKLDWH
TRPBmH	KYASKPENRGKT-----VIVNLSSGRGDKDMDFLAAGLLGV-----
TRPBmV	ENAGNMD-KDDI-----MVINLSSGRGDKDMLNTVINAV--HK-----
TRPBhv	VWSSGPDAPDAENADDLGEYVVNVSGRGDKDLESIAEETYERDIDIAPN
TRPBBS	KLAKGMD-RGQL-----ILVCLSSGRGDKDVTNLMNVL-----E-----
TRPBBA	ELAQSMS-PDET-----VLIICLSSGRGDKDVTMMRHLGAKEGE-----
TRPBPa	KRAPSLP-KEHI-----MVVNLSGRGDKDMDQTVMHHMQ-QE-----
TRPBPP	KRAPKLP-KDHL-----MVVCLSSGRGDKDQMVTVMNHMAAQE-----
TRPBcr	EIAQELG-KGKI-----VVMNLSSGRGDKDIFTVAEAL--G-----
TRPBTh	KVVPEMD-KDQV-----VVINLSSGRGDKDVTTEVMRLLGGE-----
TRPBLC	KIAPQMA-KDQI-----IICLSSGRGDKDVASIAKYKG-----
TRPBBr	KRAKTAEEEGQNLT-----ILVLSLSSGRGDKDVTDRAGTLEENP-----
TRPBEC	KMMRENPDKEQLL-----VVNLSSGRGDKDI-----FTVHD-----
TRPBst	KMMREQPEKEQLL-----VVNLSSGRGDKDI-----FTVHD-----

FIG. 2. Alineación de las secuencias de la cadena E de la triptófano sintasa (TRPB). *Zea mays* (Mills, com. per.) *Arabidopsis thaliana* (TRPBAt)(Berlyn, 1989), *Neurospora crassa* (TRPBmC)(Pratt y DeMoss, 1988), *Coprinus cinereus* (TRPBCC)(Skrzynia et al. 1989), *Saccharomyces cerevisiae* (TRPBSc)(Zalkin y Yanofsky, 1982), *Methanobacterium thermoautotrophicum* (TRPBmH)(Meile et al. 1991), *Methanococcus voltae* (TRPBmV)(Sibol y Henriquet, 1988), *Haloflexas volcanii* (TRPBhv)(Lam et al. 1990), *Thermus thermophilus* (TRPBTh)(Koyama y Furukawa, 1989), *Bacillus subtilis* (TRPBBS)(Parsot, 1987), *Bacillus stearothermophilus* (TRPBBA)(Ishiwata, 1989). *Lactobacillus casei* (TRPBLC)(Natori et al. 1990), *Brevibacterium lactofermentum* (TRPBBr)(Matsui et al. 1986), *Caulobacter crescentus* (TRPBcr)(Ross y Winkler, 1988), *Pseudomonas aeruginosa* (TRPBPa)(Hader y Crawford, 1986), *Pseudomonas putida* (TRPBPP)(Eberly y Crawford, 1989), *Salmonella typhimurium* (TRPBst)(Hyde et al. 1988) y *Escherichia coli* (TRPBEC)(Burns y Yanofsky, 1989).

	Tb	Ba	Bs	Lc	Br	Cr	Pa	Pp	St	Ec	Sc	Nc	Cc	At	Mv	Bv
Th	/															
Ba	60.2															
Bs	58.0	72.4														
Lc	52.7	57.1	57.3													
Br	50.8	49.2	50.5	49.1												
Cr	63.8	58.9	57.5	52.8	52.1											
Pa	61.9	59.6	58.1	55.2	49.4	74.0										
Pp	60.8	59.0	58.4	52.7	49.3	71.2	84.4									
St	52.2	53.5	54.9	52.8	55.5	57.4	55.8	55.3								
Ec	55.7	53.2	56.0	52.2	56.0	57.4	54.5	55.0	96.5							
Sc	57.6	57.8	55.6	50.5	46.6	59.4	55.4	55.8	52.7	52.7						
Nc	59.8	61.2	58.3	53.7	50.9	59.9	57.3	57.1	52.1	51.8	74.4					
Cc	58.1	57.6	57.1	53.9	53.5	60.4	59.2	57.5	53.5	53.6	62.3	66.3				
At	62.2	59.5	57.7	52.1	49.7	65.3	65.3	61.9	56.3	55.8	59.8	58.8	59.4			
Mv	59.9	55.7	55.7	54.8	51.8	58.1	59.6	59.9	54.6	55.0	51.1	52.8	53.5	57.2		
Bv	51.9	51.1	49.9	47.7	45.5	54.8	52.9	52.6	49.0	49.2	49.2	49.0	55.3	49.0		

Matriz # 1. Porcentajes de similitud entre las secuencias de la cadena B de la triptofano sintasa Thermus thermophilus, (Th)(Koyama y Furukawa, 1990), Bacillus stearothermophilus (Ba)(Ishiwata et al. 1989), Bacillus subtilis (Bs)(Parson, 1987), Lactobacillus casei (Lc)(Matori et al. 1990), Brevibacterium lactofermentum (Br)(Matsui et al. 1986), Caulobacter crescentus (Cr)(Ross y Winkler, 1988), Pseudomonas aeruginosa (Pa)(Hader and Crawford, 1986), Pseudomonas putida (Pp)(Eberly y Crawford, 1989), Salmonella typhimurium (St)(Crawford et al. 1980), Escherichia coli (Ec), Saccharomyces cerevisiae (Sc)(Zalkin y Yanofsky, 1982), Neurospora crassa (Nc)(Burns y Yanofsky, 1989), Coprinus cinereus (Cc)(Skrzynia et al. 1989), Arabidopsis thaliana (At)(Berlyn et al. 1989), Methanococcus voltae (Mv)(Sibold y Henriquez, 1988) y Haloferax volcanii (Hv)(Lam et al. 1990).

TREONINA SINTASA

THRSBR	M-----YKGLLKQYASYLPVN-----	50
THRSBS	M-----WKGLIHQYKEFLPV-----	
THRSEC	M---KLYNLKDHN EQ--VSFAQAVTQGLGKNQGLFFPHDLPEFSLTEI-	
THRSSC	MPNASQVYRSTRSSSPKTISFEEAIIQGLATDGGLFIPPTIPQVDQATLF	
THRSBR	-----EKTPDVSLMEG-----NTPLIPLL	100
THRSBS	-----DQTPALTLHEG-----NTPLIHL	
THRSEC	DEM LKLD FVTRSA KILSA FIG -DEIPQE ILEER VRAFA-----FP	
THRSSC	NDWSKLSFQDLAFAIMRLYIAQEEIPDADLKDLIKRSYSTFRSDEVTPLV	
THRSBR	NISKQLGVQLYGYKEGANPTGSFKDRGM-----VMAVAKAKEEGSE	150
THRSBS	KLSEQ LGI ELHV KTEGVNP TGSFKDRGM-----VMAVAKAKEEGND	
THRSEC	APVAN VESDVG CLELF HGPTL AFKDF GGRF MAQML THI-----AG	
THRSSC	QNVTGDKENL HILELF HGPTYAFKDVALQFVG NLFEYFL QRTN ANL PEGE	
THRSBR	----AIICASTGNTSASAA-AYAARLG MKCII VIPEGKIA--HGKLAQAV	200
THRSBS	----TIMCASTGNTSAAA-AYAARANMKCIVI IPNGKIA--FGKLAQAV	
THRSEC	DKPVTILTATSGDTGA AVAHAFYGLPNVKV VILYPRGKISPLQEKL FCTL	
THRSSC	KKQITVVGATSGDTGSAAIYGLRGKKDVSFILYPTGRISPIQEEQM TT	

THRSBr	AYGA-EIISIEGNFDDALKAVRNIAAEEPITL-----VNSVNPYRIEGQ	250
THRSEb	MYGA-EIIAIDGNFDDALKIVRSICEKSPIAL-----VNSVNPYRIEGQ	
THRSEC	-GGNIETVAIDGDFDACPQALVKQAFDDEELKVALGLNSANSINISRLLAQ	
THRSSC	PDENVQTLSVTGTFDNCQDIVKAIFGDKEFNSKHNVGAVNSINWARILAQ	
THRSBr	KTAAFEICDQLQNAPDV---LAIPVGAGNITAYWKGFCYEKEKGYKK	300
THRSEb	KTAAFEVCEQLGEAPDV---LAIPVGAGNITAYWKGFCYEKEKGYKK	
THRSEC	ICYYFEAVAQLPQETRNQLV-VSVPNGNFGDLTA---GL--LAKSLGLPV	
THRSSC	MTYYFYSFFQATNGKDSKKVFKVVPNGNFGDILA---GY--FAKKMGLPI	
THRSBr	PRIH--GFEAEGAAAIVKGHVIEEPETIATAIR---IGNPASW-----	350
THRSEb	PKMR--GFEAEGAAAIVRNEVIENPETIATAIR---IGNPASW-----	
THRSEC	KRFIAATNVNDTVPRLHDGQWSPKAT-QATLSNAMDVSQPNNWPRV---	
THRSSC	EKLAIATNENDILDRFLKSGLYERSDKVAATLSPAMDILISSNFERLLWY	
THRSBr	---SYAVEAAEQSHEI-----DMV	400
THRSEb	---DKAVKAAEESNGKI-----DEV	
THRSEC	-----EELFRRIKIWL-----KELGYAAV	
THRSSC	LAREYLANGDDLKAGEIVNNWFQELKTNGKFQVDKSIIEGASKDFTSERV	
THRSBr	SDEEILHA-----Y-----RLLAKTE-----G	450
THRSEb	TDDEILHA-----Y-----QLIARVE-----G	
THRSEC	DDETTQQTMRELKELG-----YTSEPHAAVAYRAL----RDQLNPGEYG	
THRSSC	SNEETSETIKKIYESSVNPKHYILDPTHAVGVCATERLIAKDNDKSIQY-	
THRSBr	VFAEPGSNASLAGVIKHVESG---KIKKGETVVAVLTGNGLKDPDIAIS	500
THRSEb	VFAEPGSCASIAGVLKQVKSG---EIPKGSKVVAVLTGNGLKDPNTAVD	
THRSEC	LFLGTAHPAKFKESVEAILG-----ETLDLPKELA-----E	
THRSSC	ISLSTAHPAKFADAVNNALSGFSNYSFEKDVLPEELKKLSTLKKLKFI	
THRSBr	SNQLDIASVSNDIEQIKDHIGKVIMS	526
THRSEb	ISEIKPVTLPTEDESDILEYVKGAARV	
THRSEC	RADLPLSHNLPADFAALRKLMNNHQ	
THRSSC	RADVELVKNAIEEELAKMK-----L	

Fig. 3. Alineación de las secuencias de treonina sintasa (THRS) de *Brevibacterium lactofermentum* (THRSBr)(Malumbres et al. 1988), *Bacillus subtilis* (THRSBs)(Parsot, 1986), *Escherichia coli* (THRSEC)(Parsot et al. 1983) y *Saccharomyces cerevisiae* (THRSSC)(Aas y Rognes, 1990).

	THRSEC	THRSBs	THRSBr	THRSSC
THRSEC	--			
THRSBs	24.1	--		
THRSBr	21.6	69.0	--	
THRSSC	35.5	21.0	21.6	--

Matriz # 2. Porcentajes de similitud entre las secuencias de la tronina sintasa THRS de Escherichia coli (THRSEC)(Parsot et al. 1983), Bacillus subtilis (THRSBs)(Parsot, 1986), Brevibacterium lactofermentum (THRSBr)(Malumbres et al. 1988) y Saccharomyces cerevisiae (THRSSC)(Aas y Rognes, 1990).

TREONINA DESHIDRATASA

THRDRa	MAA-----	50
THRDEC	MHITYDLPVAIDDIIEAKQ-----	RLAGRIYKTGMPRS-----
THRDST	MAES---QPL-SVAP-----	
THRDSC	MSATLLKQPLCTVVRQGKQSKVSGLNLLRLKAHLHRQHLSPLIKLHSEL	
		100
THRDRa	HVK-----	TPLRDSMALSKVAGTSVFLKMD
THRDEC	-----NY-----	FSERCKGEIFLKFE
THRDST	-----AEYLRAVLRAPVYEAQVTPLQKMKEKLSSRLDNVILVKRE	
THRDSC	KLDELQTDNTPDYVRLVLRSVYDVINESPISQGVGLSSRLNTNVILKRE	
		150
THRDRa	SSQPSGSFKIRG-IGHLCMKAKQGCKHFVCSSAGNAGMATAYAARRLGL	
THRDEC	NMQRTGSFKIRGAFNLSSLTDAEKRKGVVACSAGNHAQGVSLSCAMLGI	
THRDST	DRQPVHSFKLRGAYAMMTGLTEEQKAHGVTASAGNHAQGVAFSSARLGV	
THRDSC	DLLPVFSFKLRGAYNMIAKLDQSQRNQGVIACSGNHAQGVAAKHLKI	
		200
THRDRa	PATIVVPSTTPALTIERLKNEGATVEVVGEMLEDEAIQLAKALEKNNPFW	
THRDEC	DGKVVMPKGAPSKVAACTDYSAEVVLHGDNFNDTIAKVSEIVEME-GRI	
THRDST	KSLIVMPKATADIKVDAVRGLGEVLLHGANFDEAKAKAIELAQQQ-GFT	
THRDSC	PATIVMPVCTPSIKYQNVSRLGSQVVLYGNDFDEAKAECAKLAER-GLT	
		250
THRDRa	YISPFDDPLIWEIGHTSLVKELKETLSA--KPGAIIVLSVGGGGLCGVVQG	
THRDEC	FIPPYDDPKVIAQGQGTIGLEIMEDL--YDVDNVIVPIGGGGLIAGIAVA	
THRDST	WVPPFDHPMVIAGQGTIALELLQQ---DSHLDRVFPVVGGGGLAAGVAVL	
THRDSC	NIPPFDFHPYVIAGQGTVAMEILRQVRTANKIGAVFVPGGGGLIAGIGAY	

THRDRa	LREVGWEDVPIIAMETFGAHSFHAAVKEGKLVTLPKITSVAKALGVNTVG	300
THRDEC	IKSIN-PTIRIVGVQSENVHGMASFHSGEITTHRTTGTIADGCDVSRPG	
THRDS _t	IKQLM-PQIKVIAVEAEDSACLKAALEAGHPVDLPRVGLFAEGVAVKRIG	
THRDS _c	LKRVA-PHIKTIGVETYDAATLHNSLQRNQRTPLPVVGTfadGTSVRMIG	
		350
THRDRa	AQTLKLKYEHPIFSEVISDQEAVTAIEKFVUDDEKILVEPACGAALAA---	
THRDEC	NLTYEIVRELVDIVLVSEDEIRNSMIALIQRNKVVTEGAGALACAAL--	
THRDS _t	DETFRRLCQEYLDIITVDSDAICAAMKDLFEDVRAVAEPGALALAGMKK	
THRDS _c	EETFRVAQQVVDEVVLVNTDEICAAVKDIFEDTRSIVEPSGALSVAGMKK	
		400
THRDRa	-----	
THRDEC	LSGKLDQYIQRK---VSIISGGNIDLRSVQSITG-----	
THRDS _t	YIA---QHNIRGER--LAHVLSGANVNFMHGLRYVSERCELGEQREGLLTVT	
THRDS _c	YISTVHPEIDHTKNTYVPILSGANMFDRRLFVUSERAVLGEGKEVFMLVT	
		450
THRDRa	-----	VYSGV---
THRDEC	-----	
THRDS _t	IPEEKGNFPKFCQLLGGRMVTEFNYRFADAKN-----ACIFVGVRVS	
THRDS _c	LPDVPGAFKKMQKIIHPRSVTEFSYRYNEHRHESSSEVPKAYIYTFSVV	
		500
THRDRa	-----	EARL-
THRDEC	-----	
THRDS _t	QGLEERKEIITQLCDGGYSVVDLSDDEMAKLHVRYMVGGRPSKPLQERLY	
THRDS _c	DREKEIKQVMQQLNALGFEAVIDSNELAKSHGRYLVGG-ASKVPNERII	
		550
THRDRa	-----QTPLASLVIVCGGSNISLAQLQALKAQLG-----	
THRDEC	-----	
THRDS _t	SFEFPESPGALLKFLHTLGTHWNISLFHYRSHGTDYGRVLAAFELGDHEP	
THRDS _c	SFEFFPERPGALTRFLGGLSDSWNLTFHYRNHGADIGKVLAGISVPPREN	
		529
THRDRa	-----LNEL-----LK-	
THRDEC	-----	
THRDS _t	-DFETRLHELYECHDESNNPFRFFLAG	
THRDS _c	LTFQKFLEDLGTYTYHDETDTNTVYQKFLKY	

Fig. 4. Alineación de las secuencias de treonina deshidratasa (THR) de *Ratus sp.* (THRDRa)(Woda et al. 1988), *Saccharomyces cerevisiae* (THRDS_c)(Kielland-Brand et al. 1984), *Escherichia coli* (THRDEC)(Datta et al. 1987) y *Salmonella typhimurium* (THRDS_t)(Taillon et al. 1988).

	THRDRA	THRDSC	THRDSt	THRDEC
THRDRA	---			
THRDSC	27.1	---		
THRDSt	26.4	44.7	---	
THRDEC	24.6	35.0	36.8	---

Matriz 3. Indices de similitud entre las secuencias de treonina deshidratasa (THRD) de *Ratus sp.* (THRDra)(Noda et al. 1988), *Saccharomyces cerevisiae* (THRDSc)(Kielland-Brand et al. 1984), *Escherichia coli* (THRDEC)(Datta et al. 1987) y *Salmonella typhimurium* (THRDSt)(Taillon et al. 1988).

SERINA DESHIDRATASA

SERDHu	MMSG--EPLHVKTPIRDSMAL-----	SKMAGTSVYLKM-----	50
SERDra	MAAQ--ESLHVKTPLRDSMAL-----	SKVAGTSVFLKM-----	
SERDSc	MEMT--H--YEKTPLIRQVFN-----	NGKTNNSWFYVKH-----	
SERDEC	MENAKMNSLIAQYPLVKDLVALKETTWNPGBTTSLAEGLPYVGLTEQDVQ		
SERDHu	-----DSAQPSSFKIRGIG-HFCKRWAKQGCAHFVC		100
SERDra	-----DSSQPSSFKIRGIG-HLCKMKAKQGCKHFVC		
SERDSc	-----EILQPGGSFKSRGIG-HLIRK-----		
SERDEC	DAHARLSRFAPYLAKAFPETAATGGIIESELVAIPAMQKRLEKEYQQPIS		
SERDHu	SS-----		150
SERDra	SSVVQIWGSRM----RGRSHS----GDEQPHVRSQLLP---DTPSPL		
SERDSc	-----SNQQPLSESGSGKLA--VFSS--		
SERDEC	GQLLKDKDSHLPISGSIKARGGIYEVLAAEKLALEAGLLTLDYYSKLL		
SERDHu	-A-----GNAGMAAAAYAARQLGVPATIVVPGTTPALTIE		200
SERDra	TA-----GNAGMATAYAARRLGLPATIVVPGTTPALTIE		
SERDSc	SG-----GNAGLAAATACRSMALNCVVVPKTTKPRMVK		
SERDEC	SPEFKQFFSQYSIAVGSTGNLGLSIGIMSARIGFKVTVHMSADARAWKA		
SERDHu	RLKNEGATCKVVGELLDEAFE----LAKALAKNNPGWVYIPPFDDPLI		250
SERDra	RLKNEGATVEVVGEMLDEAIQ----LAKALEKNNPGWVYISPFDPLI		
SERDSc	KIQSAGAKVIIGHDWGEADEYLRHKLMAQESQHGSKTLYVHPFDNETI		
SERDEC	KLRTHGVTVVEYEQDYGVAVE----EGRKAAQSDPNCCFIDDENSRTLF		

SERDHu	EGHASIVKELKETLWE-----	KPGAIALS VGGGGLLCGVVQGLQECG	300
SERDRa	EGHTSLV KELKETLSA-----	KPGAI VLS VGGGGLLCGVVQGLREVG	
SERDSc	EGHSTIVDEIIIEQLKEND--	ISLPRVKA LVCSVGGGGLFSGI IKG LDRNH	
SERDEC	LGYSVAGQRLKAQFAQQGRIVDADNPLFVYLP CGVGGPGGVAFGLK-LA		
SERDHu	WGD-VPIAMETFGAHSFHAATTAG--	KLVSLPKITSVAKALGVKTVGSQ	350
SERDRa	WED-VPIIAMETFGAHSFHAAVKEG--	KLVTLPKITSVAKALGVNTVGAQ	
SERDSc	LAEKIPVVAVETAGCDVLNKSLLKG--	SPVTLEKLTSVATSLASPYIASF	
SERDEC	FGDHVHCFFAEP THSPCMLLGVHTGLHDQISVQDI-GIDNLTAADGLAVG		
SERDHu	ALKLFQEHP IFSEV----	ISDQEAVAAIEKFV DDEKILVEPAWG AALAA	400
SERDRa	TLKLFYEHPIFSEV----	ISDQEAVTAIEKFV DDEKILVEPA CGA ALAA	
SERDSc	AFESFNKYGCKSVV----	LSDQDV LATCLRYADDYN FIVEPAC GAS LHL	
SERDEC	RASGFVGRAMERLLDGFYTLS DQTMYDMLGWLAQ BEGIRLEPSALAGMAG		
SERDHu	VYS--HVIQKLQLEG NLRTP L--	PSLVVIVCGGSNISLAQLRALKEQLGM	450
SERDRa	VYS--GVV CRLQAE GRL QTP L--	ASLVVIVCGGSNISLAQLQALK AQL GL	
SERDSc	CYH--PEILEDILEQ KIYED--	DIV IIIACGGSCMTYEDLVKASSTLNV	
SERDEC	PQRVCASVSYQQMHGFSAEQLRNTTHLVWATGGGMVPEEE MNQY--	LAK	
SERDHu	TNRLPK		
SERDRa	-NELLK		
SERDSc	S----		
SERDEC	G----R		

Fig. 5. Alineación de las secuencias de la serina deshidratasa (SERD) de *Homo sapiens* (SERDHu)(Ogawa et al. 1989), *Ratus* sp. (SERDRa)(Ogawa et al. 1988), *Saccharomyces cerevisiae* (SERDSc)(Seufert, 1990) y *Escherichia coli* (SERDEC)(Marceau, 1988).

	SERDRa	SERDHu	SERDSc	SERDEC
SERDRa	---			
SERDHu	82.9	---		
SERDSc	32.7	34.8	---	
SERDEC	21.9	20.9	17.7	---

Matriz # 4. Indices de similitud entre las secuencias de la serina deshidratasa (SERD) de *Homo sapiens* (SERDHu)(Ogawa et al. 1989), *Ratus* sp. (SERDRa)(Ogawa et al. 1988), *Saccharomyces cerevisiae* (SERDSc)(Seufert, 1990) y *Escherichia coli* (SERDEC)(Marceau, 1988).

otros indices de similitud fueron obtenidos a partir de la alineación de las secuencias de la cadena β de la triptofano sintasa contra las secuencias de la treonina sintasa, treonina deshidratasa y serina deshidratasa (Tabla 7 y 8).

Tabla 7 de Porcentajes de similitud

TRPB	SERDRA	SERDHu	SERDSC	SERDEC	THRDRa	THRDS	THRDS _t	THRDEC
TRPB _c	20.0	23.7	23.9	25.0	18.4	21.5	23.4	19.2
TRPB _{St}	27.1	23.7	21.5	25.0	23.5	20.7	23.4	19.2
TRPB _{Br}	25.8	26.4	26.3		25.8	20.3	39.1	17.8
TRPB _P	25.4	20.5	13.7		23.4	75.0	16.8	24.1
TRPB _{Pa}	25.4		24.9	25.0	24.3		19.0	28.7
TRPB _{Ct}	23.9	14.8	24.1	27.5	21.8	33.3		27.7
TRPB _{Bs}	21.5	27.6	21.9	15.9	21.5	25.0	14.4	29.7
TRPB _{Ba}	58.3		25.3	44.4	58.3	20.6	47.4	26.4
TRPB _{LC}	20.0	30.6	41.2		22.8	21.9	20.8	23.6
TRPB _{Th}	39.4		20.2	20.7	25.4	19.8	29.4	25.0
TRPB _{At}	31.3	28.6	23.2		31.3	16.8	22.2	22.8
TRPB _{Sc}	18.2	26.9	20.9	28.2	18.7	25.0	21.4	24.3
TRPB _{Mc}	36.4	20.5	23.1	19.1	36.4	25.0		20.6
TRPB _{Cc}	42.9	53.3	23.0		42.9	22.0	25.6	25.0
TRPB _{MV}	37.5	37.5	20.4	34.2	37.5	23.2		22.7
TRPB _{MH}	34.2	19.3			20.3	23.0	19.3	18.3
TRPB _{Hv}	34.2	31.3	20.8		42.1	32.1	29.3	25.3

Porcentajes de similitud de las secuencias de la cadena β de la triptofano sintasa (TRPB) de Escherichia coli (TRPB_c) (Burns y Yanofsky, 1989), Salmonella typhimurium (TRPB_{St}) (Crawford et al. 1980), Brevibacterium lactofermentum (TRPB_{Br}) (Matsui et al. 1986), Pseudomonas putida (TRPB_P) (Kberly y Crawford, 1989), Pseudomonas aeruginosa (TRPB_{Pa}) (Haderzo y Crawford, 1986), Caulobacter crescentus (TRPB_{Ct}) (Ross y Winkler, 1988), Bacillus subtilis (TRPB_{Bs}) (Parsot, 1987), Bacillus stearothermophilus (TRPB_{Ba}) (Ishimata et al. 1989), Lactobacillus casei (TRPB_{LC}) (Matori et al. 1990), Thermus thermophilus (TRPB_{Th}) (Koyama y Furukawa, 1990), Arabidopsis thaliana (TRPB_{At}) (Berlyn et al. 1989), Saccharomyces cerevisiae (TRPB_{Sc}) (Zalkin y Yanofsky, 1982), Neurospora crassa (TRPB_{Mc}) (Pratt y DeMoss, 1988), Coprinus cinereus (TRPB_{Cc}) (Skrzynia et al. 1989), Methanococcus voltae (TRPB_{MV}) (Sibold y Henriquez, 1988), Methanobacterium thermoautotrophicum (TRPB_{MH}) (Meile et al. 1991) y Halofexax volcanii (TRPB_{Hv}) (Lam et al. 1990) contra las secuencias de Serina deshidratasa (SERD) de Ratus sp. (SERDRa) (Ogawa et al. 1988), de Homo sapiens (SERDHu) (Ogawa et al. 1989), Saccharomyces cerevisiae (SERDSC) (Seufert, 1990), Escherichia coli (SERDEC) (Marceau, 1988) y con las secuencias de la treoninas deshidratatasas (THRDS) de Ratus sp. (THRDRa) (Noda et al. 1988), Saccharomyces cerevisiae (THRDS) (Kielland-Brand et al. 1984), Salmonella typhimurium (THRDS_t) (Taillon et al. 1988) y Escherichia coli (THRDEC) (Datta et al. 1987). Los huecos en la tabla se deben a que el programa de computadora no alineo ese par de secuencias.

Tabla 8. Porcentajes de similitud

TRPB	THRSB6	THRSBr	THRSBc	THRSSc
TRPBEC	22.8	27.7	15.6	33.3
TRPBSt	35.4	27.7	14.9	33.3
TRPBBr	21.4	23.9	23.2	24.3
TRPBPP	32.8	34.3	16.7	
TRPBPa		36.6		
TRPBCr	35.1	32.3	12.6	33.3
TRPBBS	26.5	26.0	25.6	
TRPBBa	26.9	33.8	13.5	
TRPBLC	28.2	40.9		32.4
TRPBTh	32.0	35.0	24.2	34.3
TRPBAt	26.5	30.0	13.4	22.3
TRPBSc	25.0	26.7	37.5	
TRPBNC		22.8	21.6	
TRPBCC	24.3	23.2		
TRPBMV	31.7	34.5	25.0	18.9
TRPBMV	27.2	28.7		21.1

Porcentajes de similitud de las secuencias de la cadena S de la triptofano sintasa (TRPB) de *Escherichia coli* (TRPBEC)(Burns y Yanofsky, 1989), *Salmonella typhimurium* (TRPBSt)(Crawford et al. 1980), *Brevibacterium lactofermentum* (TRPBBr) (Matsui et al. 1986), *Pseudomonas putida* (TRPBPP)(Eberly y Crawford, 1989), *Pseudomonas aeruginosa* (TRPBPa)(Haderer y Crawford, 1986), *Caulobacter crescentus* (TRPBCr)(Ross y Winkler, 1988), *Bacillus subtilis* (TRPBBS)(Parsot, 1987), *Bacillus stearothermophilus* (TRPBBa) (Ishiwata et al. 1989), *Lactobacillus casei* (TRPBLC)(Matori et al. 1990), *Thermus thermophilus* (TRPBTh) (Koyama y Furukawa, 1990), *Arabidopsis thaliana* (TRPBAt)(Berlyn et al. 1989), *Saccharomyces cerevisiae* (TRPBSc) (Talkin y Yanofsky, 1982), *Neurospora crassa* (TRPBNC) (Pratt y DeMoss, 1988), *Caprinus cinereus* (TRPBCC)(Skrzynia et al. 1989), *Methanococcus voltae* (TRPBMV) (Sibold y Henriquet, 1988), y *Haloferax volcanii* (TRPBHV)(Lam et al. 1990) contra las secuencias de la treonina sintasa (THRS) de *Bacillus subtilis* (THRSB6)(Parsot, 1986), *Bacillus lactofermentum* (THRSBr)(Malumbres et al. 1988), *Escherichia coli* (THRSBc)(Parsot et al. 1983), *Saccharomyces cerevisiae* (THRSSc)(Aas y Rognes, 1990). Los huecos en la tabla se deben a que el programa de computadora no alineó ese par de secuencias.

Por otro lado se alinearon las secuencias de la treonina sintasa con las secuencias de la treonina dehidratasa y serina dehidratasa obteniendo sus porcentajes de similitud (Tabla 9). En la tabla 10 se muestran los porcentajes de similitud entre las treoninas deshidratasas y las serinas deshidratasas.

Tabla 9. de Porcentajes de similitud.

THRS	SERDRa	SERDHu	SERDSC	SERDEC	THRDRa	THRDS	THRDS	THRDEC
THRSEC	43.8					22.2		24.8
THRSBr	27.7	26.6	25.5	20.8	23.5	22.8	26.3	24.1
THRSBa	30.9	24.4	25.7		22.6	20.2	28.3	21.9
THRSSC			23.3				23.6	

Porcentajes de similitud de las secuencias de la treonina sintasa (THRS) de Bacillus subtilis (THRSBs), Bacillus lacticfermentum (THRSBr), Escherichia coli (THRSEC), Saccharomyces cerevisiae (THRSSC) contra las secuencias de Serina deshidratasa (SERD) de Ratus sp. (SERDRa)(Ogawa et al. 1988), de Homo sapiens (SERDHu)(Ogawa et al. 1989) de Saccharomyces cerevisiae (SERDSC)(Seufert, 1990), de Escherichia coli (SERDEC)(Marceau et al. 1988) y con las secuencias de la treonina deshidratasa (THR) de Ratus sp. (THRDRa)(Noda et al. 1988), de Saccharomyces cerevisiae (THRDS)(Kielland-Brand et al. 1984), de Salmonella typhimurium (THRDS)(Taillon et al. 1988) y de Escherichia coli (THRDEC)(Datta et al. 1987). Los huecos en la tabla se deben a que el programa de computadora no alineo ese par de secuencias.

Tabla 10. de Porcentajes de similitud

	SERDRa	SERDHu	SERDSc	SERDEC
THRDRa	99.2	82.5	33.3	
THRDS_c	26.6	27.8	25.7	25.6
THRDSt	26.1	27.8	26.6	18.9
THRDEC	22.1	22.2	21.2	14.3

Porcentajes de similitud de las secuencias de la Serina deshidratasa de Ratus sp. (SERDRa)(Ogawa et al. 1988), de Homo sapiens (SERDHu)(Ogawa et al. 1989), de Saccharomyces cerevisiae (SERDSc)(Seufert, 1990), de Escherichia coli (SERDEC)(Marceau et al. 1988) contra las secuencias de la treonina deshidratasa (THRD) de Ratus sp. (THRDra)(Noda et al. 1988), de Saccharomyces cerevisiae (THRDSc)(Kielland-Brand et al. 1984), de Salmonella typhimurium (THRDSt)(Taillon et al. 1988) y de Escherichia coli (THRDEC)(Datta et al. 1987). Los huecos en la tabla se deben a que el programa de computadora no alineo ese par de secuencias.

Por último, se construyo un árbol filogenético de las cadenas β de la triptofano sintasa, pertenecientes a los tres linajes celulares, al que se le puso raíz mediante la treonina sintasa de B. subtilis. El árbol se realizo usando el método de parsimonia con secuencias proteicas (Fig. 6).

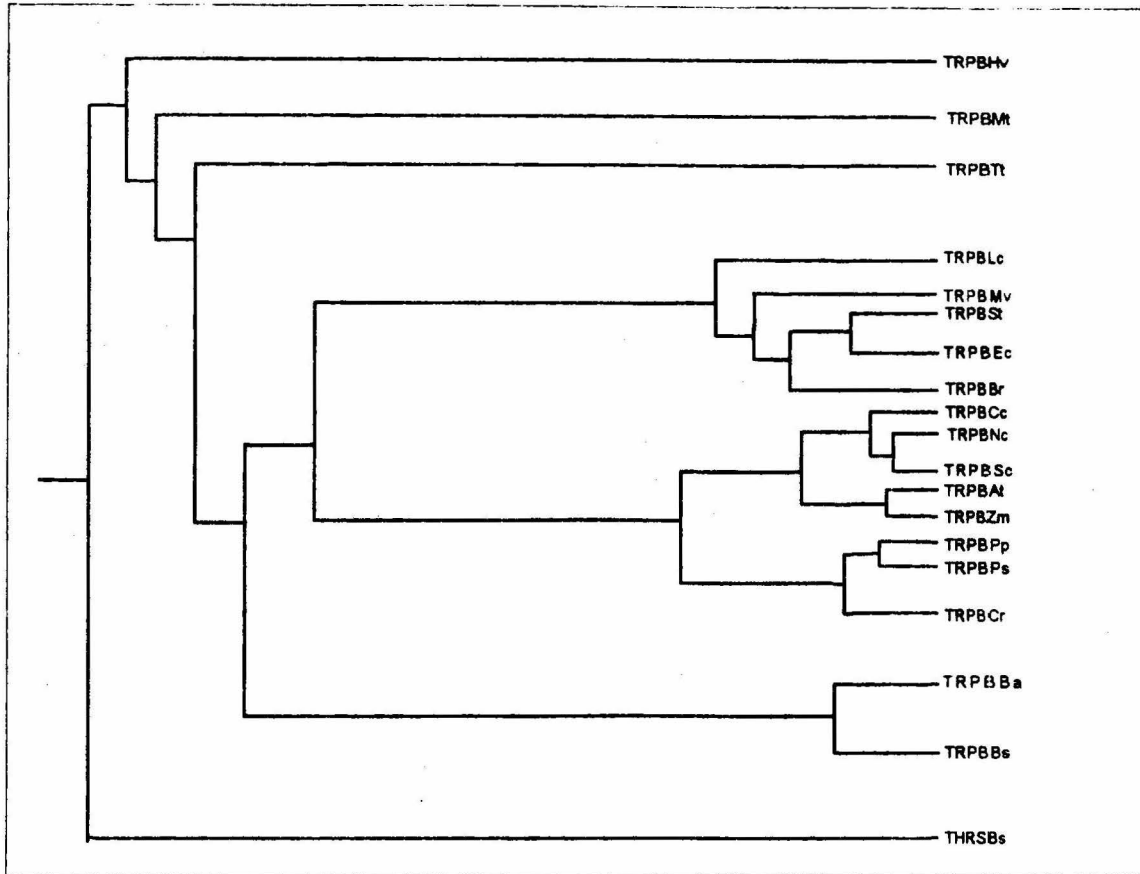


Fig. 6. Árbol filogenético de las secuencias de proteínas de la cadena b de la triptófano sintasa, obtenido por el método de parsimonia. *Thermus thermophilus* (TRPBt) (Koyama y Furukawa, 1989), *Bacillus stearothermophilus* (TRPBba) (Ishiwata, 1989), *Bacillus subtilis* (TRPBbs) (Parsot, 1987), *Lactobacillus casei* (TRPBLC) (Natori et al., 1990), *Brevibacterium lactofermentum* (TRPBBr) (Matsui et al., 1986), *Caulobacter crescentus* (TRPBCr) (Ross y Winder, 1988), *Pseudomonas aeruginosa* (TRPBPs) (Hadley y Crawford, 1988), *Pseudomonas putida* (TRPBPP) (Crawford, 1988), *Salmonella typhimurium* (TRPBSx) (Hyde et al., 1988), *Escherichia coli* (TRPBEc) (Burns y Yanofsky, 1989), *Saccharomyces cerevisiae* (TRPBSc) (Zalán y Yanofsky, 1982), *Neurospora crassa* (TRPBNC) (Pratt y DeMoss), *Coprinus cinereus* (TRPBCC) (Skrzynia et al., 1989), *Arabidopsis thaliana* (TRPBAl) (Berlyn, 1989), *Zea mays* (TRPBZm) (Mills com. per.), *Methanococcus voltae* (TRPBMrv) (Sibol y Henriet, 1988), *Haloflexax volcanii* (TRPBhv) (Lam et al., 1990), *Methanobacterium thermoautotrophicum* (TRPBMH) (Mills et al., 1991), y la treonina sintasa de *B. subtilis* (THRSBs) (Parsot, 1986).

DISCUSION**ALINEACION DE SECUENCIAS**

En la matriz # 1 se puede observar que los índices de similitud entre la mayoría de las cadenas β de la triptofano sintasa se encuentran en el rango 50-60 %. Tomando en cuenta el criterio de Doolittle (1989), de que a partir de una similitud mínima de 15 % entre dos secuencias de al menos 100 aminoácidos cada una, estas poseen un origen común, es evidente que todas las cadenas β de las triptofano sintasa son homólogas entre sí. Esto significa que un gen que codificaba para esta proteína se encontraba ya presente en el último ancestro común.

Podemos observar también que ésta proteína ha sido muy conservada a través de la evolución, ya que los índices de similitud obtenidos (50-60 %) son muy superiores al valor de decisión de Doolittle (1989) de 15 %. Por lo tanto, el reloj molecular de la cadena β de la triptofano sintasa debe ser muy lento.

Los índices de similitud encontrados entre las cuatro secuencias disponibles de treonina sintasas (tres de eubacterias y una de eucarionte), se encuentran en el orden de 20-30 %, o superiores como en el caso de B. subtilis y B. lactofermentum que presentaron una similitud de 69.0 % y es lógico ya que las dos eubacterias son Gram positivas. Por lo tanto, es posible que la treonina sintasa se encontraba también en el último ancestro, y probablemente su reloj

molecular es más rápido que el de la triptofano sintasa cadena B.

De igual manera, los índices de similitud encontrados, por un lado entre las cuatro secuencias de treonina deshidratasas (de dos eubacterias y dos de eucariontes), y por otro, entre las cuatro secuencias de serina deshidratasas (de una eubacteria y tres de eucariontes), son también del orden de 20-40%, de manera que estas enzimas posiblemente se encontraran también en el último ancestro, y probablemente su evolución procedió a un ritmo similar al de las treonina sintasas. La manera ideal de probarlo sería alinear cada una de las secuencias disponibles de la treonina sintasa, treonina deshidratasa y serina deshidratasa con su gen homólogo de arqueobacterias si existiera la secuencia en el banco de genes.

Al analizar las tablas 7-10, encontramos valores significativos de similitud entre todas las secuencias disponibles de las cuatro enzimas analizadas. Esto significa que estas enzimas dependientes de fosfato de piridoxal involucradas en biosíntesis de aminoácidos y con características bioquímicas similares (Fig. 1), conforman en realidad un grupo natural. Es decir, los genes que las codifican seguramente provienen de un sólo gen ancestral del que se originaron a través de varias duplicaciones génicas que tal vez ocurrieron antes de la separación en eubacterias y arqueobacterias.

Sin embargo, los índices de similitud obtenidos al comparar cada enzima por separado con cada una de las restantes (Tablas 7-10) son

todos muy similares (20-30 %), de manera que resulta imposible establecer el orden en el cual se produjeron las divergencias que dieron lugar a los genes de las respectivas proteínas. Si suponemos un reloj molecular constante, entonces se podría afirmar que las divergencias se produjeron de manera casi simúltanea, apareciendo rápidamente varios genes que divergieron a ritmos de cambio parecidos.

En el caso de genes parálogos estos están evolucionando independientemente el uno del otro desde el momento de la duplicación génica aunque se encuentren en el mismo organismo, o en organismos separados filogenéticamente.

Por lo tanto los valores individuales de comparaciones de diferentes proteínas en diferentes organismos no tienen valor. Lo importante es determinar si las enzimas son o no idénticas entre sí, para lo cual lo ideal sería realizar "secuencias consenso", es decir a partir de todas las secuencias disponibles deducir la posible secuencia ancestral de la enzima.

En las tablas 7-10 se observan índices de similitud que no corresponden al promedio general obtenido de las alineaciones entre los cuatro tipos de moléculas con las que se trabajó. Esto se debe a que estas cuatro enzimas presentan un reloj molecular errático el cual provoca que estas proteínas no sean buenos marcadores para realizar filogenias que muestren una topología de un árbol universal como

ocurre con las histonas de Tetrahymena sp. (ciliado) y la actina de Oomycetes (hongo) que son otro ejemplo de malos marcadores evolutivos (Sogin, 1993).

ARBOL FILOGENETICO DE LAS CADENA S DE LA TRIPTOFANO SINTASA

El árbol obtenido utilizando secuencias proteínicas se muestra en la Fig. 6, pero se aleja de los árboles universales de Gogarten et al. (1989), Iwabe et al. (1989) y Woese et al. (1990). Por una parte las arqueobacterias no aparecen como un grupo definido, aunque sus dos representantes (H. volcanii y M. thermoautotrophicum) presentan las secuencias de la cadena S de la triptofano sintasa menos parecidas al resto. Sin embargo, esta falta de definición probablemente se deba simplemente al desequilibrio existente en el mínimo de secuencias utilizadas de los diferentes linajes. En efecto, sólo se dispone de tres secuencias de arqueobacterias, que provienen de diferentes grupos, ya que Methanobacterium y Methanococcus corresponden a dos líneas divergentes de arqueobacterias metanógenas. En la realización de este mismo árbol, se cuenta con un antecedente de como la escasez de secuencias de algún grupo puede alterar la topología general del mismo. Antes de incorporar en nuestro análisis la secuencia de la planta de maíz (Zea mays), los eucariontes tampoco se definían como un grupo monofilético, y la secuencia de A. thaliana se agrupaba con Pseudomonas y Caulobacter. En cambio, al incluir una segunda secuencia vegetal (Zea mays), las cinco secuencias eucariontes ahora presentes se agruparon de forma natural, definiéndose el grupo de los eucariontes. Es importante hacer notar

que ahora este se subdivide en dos grupos naturales, i.e., hongos y plantas. Los animales no aparecen en este árbol ya que no sintetizan triptofano (Yanofsky y Crawford, 1987).

Sin embargo, en nuestro árbol los eucariontes aparecen en el interior del grupo de las eubacterias, cercanos unidos a las bacterias púrpura de los géneros Pseudomonas y Caulobacter. Esta posición del grupo eucariote parecería indicar que el gen de la cadena β de la triptofano sintasa detectado en estos organismos fue transferido horizontalmente de la mitocondria al núcleo. Esto no es una posibilidad tan remota; según Margulis (1981), las mitocondrias descienden de eubacterias púrpuras aerobias, similares a los generos actuales Paracoccus, Bdellovibrio y Daptobacter. Esto permite especular que con la endosimbiosis que el gen original codificado en el núcleo eucariote se perdió o dejó de expresarse y fue suplantado por el gen mitocondrial. Por otro lado, sabemos que la actividad de triptofano sintasa se ha perdido efectivamente en muchos vertebrados, entre ellos el hombre, que carecen de la capacidad de sintetizar triptofano; ello llevaría a la especulación que en estos animales, ambos genes de la triptofano sintasa cadena β , i.e., el nuclear y el mitocondrial, se han perdido.

Si suponemos que la hipótesis anterior es correcta, es decir, que las secuencias disponibles de la cadena β de la triptofano sintasa de eucariontes probablemente son de origen mitocondrial, es decir eubacteriano, el árbol obtenido representa una filogenia coherente

del grupo de las eubacterias. En efecto, se destaca la gran línea de las bacterias púrpura que incluye por un lado al grupo de Pseudomonas y Caulobacter, que es el más cercano a las secuencias mitocondriales, y por otro, a los géneros cercanos Escherichia y Salmonella. Según el árbol de la Fig. 7, el grupo más relacionado con las bacterias púrpura es el de las bacterias Gram positivas del género Bacillus, y como línea más alejada dentro de las eubacterias aparece la especie Thermus thermophilus. Esta topología general si corresponde con la presentada por Woese (1987), usando secuencias de 16S rRNA.

Sin embargo, en el grupo de las bacterias púrpura aparecen tres secuencias pertenecientes a organismos que, según la filogenia de Woese (1987), no pertenecen a este grupo. Una de ellas corresponde a la arqueobacteria metanógena Methanococcus voltae. Como se discutió anteriormente, la posición de las secuencias arqueobacterianas en el árbol obtenido no es confiable, debido al escaso número de sus representantes. Por otra parte, aparecen entre las bacterias púrpura, cerca de Escherichia y Salmonella, dos secuencias de bacterias Gram positivas i.e., Lactobacillus y Brevibacterium. Este último fenómeno se debe probablemente a transferencias horizontales de genes provenientes de bacterias purpura similares a E. coli y S. typhimurium, aunque también hay que tomar en cuenta la posibilidad de que los autores que reportaron las secuencias hayan usado cepas equivocadas de organismos. De hecho, Crawford y Milkman (1991) proponen que todo el operon trp de B. lactofermentum proviene de un transporte horizontal a partir de enterobacterias, ya que el arreglo de los genes (todos contiguos, con fusión de los genes trpC y trpF),

la regulación por represión y atenuación y la secuencia de aminoácidos, son similares en todas las bacterias entéricas y en B. lactofermentum (Matsui *et al.* 1986, Crawford y Milkman, 1991). Según el árbol de la Fig. 6, pudo haber existido otra transferencia del gen trpB a partir de una enterobacteria hacia otra Gram positiva, L. casei. Ello supondría que las transferencias entre estos dos grupos en particular, i.e., bacterias entericas y Gram positivas, han ocurrido más de una vez.

Por último, vemos que la secuencia de la treonina sintasa de B. subtilis aparece como grupo externo a todas las cadenas S de las triptofano sintasas, como es de esperarse si los genes que codifican a estas enzimas provienen de una duplicación génica anterior a la divergencia de los tres linajes celulares. La comparación con la secuencia de la treonina sintasa, permite poner raíz al árbol de las cadenas S de la triptofano sintasa, y parece indicar que las secuencias arqueobacterianas son más antiguas que el resto. Sin embargo, ya se ha mencionado que la posición de las secuencias arqueobacterianas en este árbol no es confiable.

CONCLUSIONES

El árbol de las cadenas β de la triptofano sintasa presentado aquí adolece de un defecto severo que escapa a los límites de este trabajo: el de la disponibilidad de secuencias. Por otra parte, la historia de estas enzimas es compleja, debido a varios eventos de transferencia horizontal de genes, lo cual implica que esta molécula no es indicada para reflejar filogenias de organismos, sino únicamente de genes. Esta enzima, así como el resto de las enzimas dependientes de fosfato de piridoxal analizadas en este trabajo, presentan un reloj molecular errático, lo que dificulta su utilización como indicadores filogenéticos.

La alta similitud (50-60%) existente entre las secuencias de aminoácidos de la cadena β de la triptofano sintasa de eubacterias y arqueobacterias demuestra claramente que esta enzima se hallaba presente en el último ancestro común y ha evolucionado en forma lenta. De igual manera, el análisis de las pocas secuencias disponibles de treonina sintasas, treonina deshidratasas y serina deshidratasas parece indicar que éste es también el caso para estas tres enzimas. Si así fuera, el último ancestro común poseía ya un grupo diversificado de por lo menos cuatro enzimas dependientes de piridoxal fosfato, involucradas en la biosíntesis de aminoácidos. Este ancestro sería capaz de sintetizar además de la histidina (Beckler y Reeve 1986), por lo menos triptofano y treonina, ya que las triptofano y treonina sintasas son las enzimas que catalizan el ultimo paso de sus respectivas vías, dando así lugar al aminoácido

correspondiente. Además, las rutas que llevan a la síntesis de lisina, metionina e isoleucina parten de metabolitos de la vía biosintética de la treonina, de manera que, una vez establecida la vía que lleva al primer aminoácido, las siguientes pueden aparecer rápidamente. En particular, la biosíntesis de la isoleucina parte de la treonina, y el primer paso lo realiza la treonina deshidratasa, dando lugar al α -cetobutirato (Umbarger, 1983). Es decir, es posible que el último ancestro fuera capaz de sintetizar varios, o todos, los aminoácidos de la familia del aspartato. Esto implica que la capacidad de biosíntesis de aminoácidos del último ancestro fueron posiblemente muy superiores a los de muchos vertebrados, entre ellos el hombre, que han perdido las enzimas responsables de la síntesis de estos aminoácidos. Los resultados obtenidos en este trabajo sugieren que el último ancestro presentaba una compleja red de síntesis de aminoácidos, lo cual, sumado a las demás características que ya tendría, nos presentan la descripción de un organismo de una complejidad considerable, probablemente no muy distante de la existente en los procariontes actuales (Lazcano *et al.* 1992).

La homología de las diferentes enzimas dependientes de fosfato de piridoxal analizadas en este trabajo sugiere que todas ellas provienen de un mismo gen ancestral, y que aparecieron tras varias duplicaciones génicas, seguidas de una creciente especialización en cada uno de los genes resultantes. Dados los porcentajes de similitud tan elevados obtenidos al comparar a las diferentes enzimas entre sí, no se puede determinar el orden en el que ocurrieron las

divergencias. Sin embargo, podemos decir que éstas sucedieron casi simultáneamente.

Por otra parte, la existencia de un gen ancestral a este grupo de genes que codifican para enzimas dependientes de fosfato de piridoxal implica que, en tiempos anteriores a la divergencia de arqueobacterias y eubacterias, existieron organismos que presentaban una enzima capaz de unir fosfato de piridoxal e involucrada en la biosíntesis de varios aminoácidos. Esta enzima debe haber presentado una especificidad muy inferior a la de sus descendientes actuales, la cual se adquirió a través de la evolución a partir de duplicaciones génicas y divergencia de secuencias. Este resultado apoya la hipótesis de Jensen, de que las células ancestrales poseían un número reducido de enzimas, poco reguladas y con una ambigua especificidad por el sustrato (Jensen, 1976) y la hipótesis de Dunathan y Voet, de una proteína ancestral dependiente de fosfato de piridoxal (Dunathan y Voet, 1974).

Finalmente, habrá que agregar que la existencia de un gen ancestral a otros que, sin embargo, ya se encontraban presentes en el último ancestro común, implica que existieron organismos mucho más simples que éste. La caracterización de estos estadios del desarrollo evolutivo se podrá llevar a cabo a través del estudio de genes parálogos antiguos, que hayan divergido antes de la separación de arqueobacterias y eubacterias.

REFERENCIAS

- Aas S.F., Rognes S.E. (1990). Nucleic Acids Res. 18:665.
- Benner S.A., Alleman R.K., Ellington A.D., Ge L., Glasfeld A., Leanz G.F. Krauch T., MacPherson L.J., Moreney S., Piccirilli J.A. and Weinhold E. (1987). Cold Spring Harbor Symp. Quant. Biol. 52:53
- Berlyn M.B., Last R.L. and Fink G.R. (1989). Proc. Natl. Acad. Sci. USA. 86:4604-4608.
- Blake C. (1974). Nature. 250: 284-285
- Beckler G.S. and Reeve J.N. (1986). Mol. Gen. Genet. 204:113
- Burns D.M. and Yanofsky C. (1989). J. Biol. Chem. 264:3840.
- Crawford I. and Milkman R. (1991). Orthologous and Paralogous Divergence, Reticulate Evolution, and Lateral Gene Transfer in Bacterial trp Genes. En Selander R.K., Clark A.G. and Whittam T.S. (eds) Evolution at the Molecular Level. Sinauer, Chicago.
- Crawford I.P., Nichols B.P., Yanofsky C. (1980). J. Mol. Biol. 142:489.
- Datta P., GossT.J., Omnaas J.R. and Patil R.V. (1987). Proc. Natl. Acad. Sci. USA. 84:393.
- Dayhoff M.O. and Schwatz R.M. (1978). Evolution of early life inferred from protein and ribonucleic acid sequence. En Origin of Life, Noda H. (ed.) Center for Academic Publications, Tokyo. p 547.
- Doolittle, R. 1989. ON ORFS AND URFS. Sunlight California Press.
- Dunathan H.C. and Voet J.G. (1974). Proc. Natl. Acad. Sci. USA. 71:3888.
- Eberly L., Crawford I.P. (1989). Biochimie. 71:521.
- Francino M.P. (1992). Tesis de licenciatura. Facultad de Ciencias, UNAM.
- Gorgarten J.P., Kibak H., Dittrich P., Taiz L., Bowman E.J., Manolson M.F., Poole R.J. Date T., Oshima T., Konishi J., denda K., Yoshida M. (1989a) Proc. Natl. Acad. Sci. USA. 86:6661
- Hader A. and Crawford I.P. (1986). Mol. Biol. Evol. 3:191.
- Higgins D.G. and Sharp P.M. (1988). Gene. 73:237.
- Higgins D.G. and Sharp P.M. (1989). CABIOS. 5:151.
- Horowitz N.J. (1945). Proc. Natl. Acad. Sci. U.S.A. 31: 153.

- Horowitz N.J. (1965). In Evolving Genes and Proteins. Bryson, V. and Vogel H.J. Academic Press, New York. p 15.
- Hyde C.C., Ahmed S.A., Padlan E.A., Miles E.W. and Davies D.R. (1988). J. Biol. Chem. 263:17857.
- Ishiwata K., Yoshino S., Iwamori S., Suzuki T., Makiguchi N. (1989). Agric. Biol. Chem. 53:2941.
- Iwabe N., Kuma K., Hasegawa M., Osawa S. and Miyata T. (1989). Proc. Natl. Acad. Sci. USA. 86:9355.
- Jensen, R. (1976). Annu. Rev. Microbiol. 30: 409.
- Jensen, R. and Byng, G. (1982). The partitioning of biochemical pathways. En: M. Rattazzi, J. Scandalios and G. Whitt (eds), Isozymes: Cur. Top. Bio Med Res. 5, Alan R. Liss, New York, p. 143.
- Jensen, R. (1985). Mol. Biol. Evol. 2: 92.
- Kielland-Brandt M.C., Holmberg S., Petersen J.G.L., Nilsson-Tillgren T. (1984). Carlsberg Res. Commun. 49:567
- Koyama, Y. and Furukawa, K. (1990). J. Bacteriol. :3490.
- Lazcano A., Fox G.E. and Oró J. (1992). Life before DNA: the Origin and Early Evolution of Early Archean Cells. En R.P. Mortlock (ed). The Evolution of Metabolic Functions. CRC Press, Boca Raton.
- Lam W.L., Cohen A., Tsoulouhas D. and Doolittle W.F. (1990). Proc. Natl. Acad. Sci. U.S.A. 87:6614.
- Lipman D.J., and Pearson W.R. (1985). Science. 227:1435
- Malumbres M., Mateos L.M., Guerrero C., Martin J.F. (1988). Nucleic Acids Res. 16:9859.
- Marceau M., McFall E., Lewis S.D., Shafer J.A. (1988). J. Biol. Chem. 263:16926
- Margulis L. (1981). Symbiosis in Cell Evolution. Freeman.
- Matsui K., Sano K., Ohtsubo E. (1986). Nucleic. Acids. Res. 14:10113
- Meile L., Stettler R., Banholzer R., Kotik M. and Leisinger T. (1991). J. Bacteriol. 173:5017
- Natori Y., Kano Y. and Imamoto F. (1990). J. Biochem. 107:248.
- Noda C., Ito K., Nakamura T. and Ichihara A. (1988). FEBS LETTERS. 224:331.

- Ogawa H., Gomi T., Konishi K., Date T., Nakashima H., Nose K., Matsuda Y., Peraino C., Pitot H.C. and Fujioka M. (1989). J. Biol. Chem. 264:15818
- Ogawa H., Miller D.A., Dunn T., Su Y., Burcham J.M., Peraino C., Fujioka M., Babcock K., Pitot H.C. (1988). Proc. Natl. Acad. Sci. U.S.A. 85:5809
- Oparin A.I. (1924). Proiskhodenie Zhizni. Moscovsky Rabochii, Moscow.
- Parsot C., Cossart P., Saint-Girons I., Cohen G.N. (1983). Nucleic Acids Res. 11:7331.
- Parsot C. (1986). EMBO J. 5:3013.
- Parsot, C. (1987). Proc. Natl. Aca. Sci U.S.A. 84: 5207.
- Parsot C. and Cohen G.N. (1988). J. Biol. Chem. 263:14654.
- Phillips A.T. and Wood W. (1965). J. Biol. Chem. 240:4703.
- Pratt M.L. and DeMoss J.A. (1988). J. Biol. Chem. 263:6872.
- Ross C.M. and Winkler M.E. (1988). J. Bacteriol. 170:757.
- Seufert W. (1990). Nucleic Acids Res. 18:3653
- Sibold L. and Henriet M. (1988). Mol. Gen. Genet. 214:439.
- Skrzynia C., Binninger D.M., Alspaugh J.A. II and Pukkila P.J. (1989). Gene 81:73.
- Sogin M. (1993). En S. Bengton (ed). Early life in earth. Columbia Univ. Press. (en prensa).
- Taillon B.E., Little R. and Lawther R.P. (1988). Gene. 63:245.
- Umbarger H.E. (1983). Biosynthesis of Amino Acids. En Biochemistry. Zubay G. (ed.) Addison-Wesley, Reading, MA. p 828.
- Waley G. (1969). Comparative Biochemistry and Physiology 30: 1.
- Woese C.R. (1987). Microbiol. Rev. 51:221.
- Woese C.R., Kandler O. and Wheelis M.L. (1990). Proc. Natl. Acad. Sci. USA. 87:4576
- Ycas M. (1974). J. Theor. Biol. 44:145-160.
- Zalkin H. and Yanofsky C. (1982). J. Biol. Chem. 257:1491-1500.
- Zuckerkandl E. and Pauling L. (1965). J. Theoret. Biol. 8:357-366.